

金属材料強度試験便覧

日本材料学会編

編集委員および執筆者一覧

編集委員長

山田 敏郎 京都大学工学部

編集委員

足立正雄	京都大学工学部	中村 宏	川崎重工業株式会社
遠藤吉郎	京都大学工学部	西原 正夫	株式会社神戸製鋼所
田中吉之助	京都大学工学部	野々村泰三	明石工業高等専門学校
田中道七	立命館大学理工学部	藤原 義堂	日本材料学会

執筆者

会田俊夫	京都大学工学部	田中吉之助	京都大学工学部
青山咸恒	株式会社豊田中央研究所	田中道七	立命館大学理工学部
足立正雄	京都大学工学部	田村今男	京都大学工学部
伊藤文人	東京都立大学工学部	寺沢正男	武藏工業大学工学部
遠藤吉郎	京都大学工学部	中村 宏	川崎重工業株式会社
大路清嗣	大阪大学工学部	波田凱夫	株式会社神戸製鋼所
大谷隆一	京都大学工学部	西原正夫	株式会社神戸製鋼所
大矢根守哉	京都大学工学部	西村尚	東京都立大学工学部
大和久重雄	日本アロイ株式会社	蓮井淳	慶應義塾大学工学部
奥島啓式	京都大学工学部	林卓夫	大阪大学基礎工学部
金沢武	東京大学工学部	平野富士夫	九州大学工学部
川田雄一	東京都立工科短期大学	宮川松男	東京大学工学部
小寺沢良一	大阪大学基礎工学部	八木順吉	大阪大学工学部
小若正倫	住友金属工業株式会社	山崎正八郎	株式会社山崎精機研究所
笹田直	東京工業大学工学部	山田敏郎	京都大学工学部
砂本大造	三菱重工業株式会社	横井信	金属材料技術研究所

序

日本材料学会の前身である日本材料試験協会が、「材料試験便覧」を編集し丸善株式会社より出版したのは昭和32年であり、絶版となってからすでに十数年を経ている。

工業の発展を支配するものは材料とその適正な利用であることは当時も今日も変りはないが、材料に関するその後の科学と技術の進歩・発展は、材料特に金属材料の強度に関する新しい知見をもたらしたことに鑑み、本会では3年前に綿密な計画のもとに「金属材料強度試験便覧」の編集に着手し、今日ここに刊行をみたのである。

本便覧の目的とするところは、金属材料の強度試験を行うに際して、その指針を与えると共に、試験方法そのものだけでなく、試験を必要とする理由と根拠を示し、設計者に必要な強度およびその試験に関する知識を与え、更に現場における試験担当者に強度試験の意義と重要性を理解してもらうことである。あわせて金属材料の強度試験が各種の事故の原因究明のために行われる場合が多くなっていることをも考慮して、特に破損、破壊に関しては詳細な解説を与えるよう配慮されている。

本便覧は第Ⅰ編「総論」と第Ⅱ編「各論」からなり、総論においては金属材料の強度と試験に関する基本的な考え方と意義を総括的に述べ、適正な指針が与えられている。各論においては各種の試験について専門家の執筆により、実際に試験に従事する技術者にとって必要な試験方法が詳述されている。本便覧の執筆ならびに編集に当られた諸氏は、わが国における権威ある研究者、技術者であり、今日発刊を見るに至ったのはこれら諸氏の献身的努力によるものであり、深く謝意と敬意を表するものである。

本便覧が金属材料を使用するすべての工業界における技術者、設計者のみならず研究者にとっても常に座右の書として活用されることを念願するものである。

昭和52年1月

社団法人 日本材料学会
会長 功刀雅長

目 次

I 総 論

第1章 金属材料の性質と強度	1	b. 組合せ応力下の疲労強度 26
1.1 弹性的性質 1		c. 切欠効果と寸法効果 27
1.2 塑性的性質 3		d. 表面硬化処理材の疲労強度 28
1.2.1 降伏条件 3		1.6.4 低サイクル疲労における強度特性 29
1.2.2 塑性変形 4		1.6.5 変動荷重による疲労と疲労被害 31
a. すべり変形と降伏 4		a. 実働荷重による疲労とシミュレーション試験 31
b. 加工硬化 6		b. 疲労被害と直線被害則 32
1.3 組織と力学的性質 8		c. 重疊波荷重下の強度 37
1.3.1 固溶体強化 8		1.6.6 疲労き裂 39
1.3.2 析出強化 8		a. 停留き裂 39
1.3.3 烧入, 烧もどし, 烧鈍 9		b. き裂成長速度と応力拡大係数 40
1.4 破壊 9		1.6.7 疲労破面 41
1.4.1 延性破壊 9		1.7 温度に対する特性 44
a. 延性破壊の機構 10		1.7.1 温度の影響 44
b. 延性に及ぼす主な影響因子 10		1.7.2 高温試験と低温試験 44
1.4.2 せい性破壊 11		1.7.3 クリープヒクリープ試験 44
a. せい性材料の破壊条件 12		1.7.4 リラクセーション試験 46
b. き裂付近の応力と変位 14		1.7.5 動クリープ試験と高温疲労試験 46
1.5 ひずみ速度に対する特性 16		1.7.6 熱疲労試験と熱衝撃試験 47
1.5.1 ひずみ速度の影響 16		1.7.7 衝撃試験およびせい性破壊試験 47
1.5.2 ひずみ速度と強度 16		1.8 環境に対する特性 47
1.5.3 弹性波, 塑性波の伝ば 17		1.8.1 応力腐食割れ 48
1.5.4 ひずみ速度と延性 19		1.8.2 環境疲労 49
1.5.5 衝撃試験 19		1.9 表面損傷 51
1.5.6 還移温度 19		1.9.1 表面の観察 51
1.6 繰返し荷重に対する特性 20		a. 表面の形状 51
1.6.1 疲労現象 20		b. 表面性質 53
1.6.2 高サイクル疲労と低サイクル疲労 22		1.9.2 摩耗 55
1.6.3 高サイクル疲労における強度特性 24		1.9.3 転動疲労 56
a. 平均応力の影響 24		1.9.4 腐食 57

(2) 目 次

ジョン	58	5.3 材料試験の自動化	76
1.9.6 フレッティング	59	5.3.1 引張試験機の自動化	77
第2章 材料特性と要素の		5.3.2 その他の試験装置	78
強度	60	5.3.3 データ処理の自動化	78
2.1 外 力	60	a. オンライン・リアルタイム処理	78
2.2 応 力	60	b. オフライン・バッチ処理	80
2.3 变 形	61		
第3章 構造物の強度	62	II 各 論	
3.1 構造物の破壊と強度	62	第1章 応力測定および	
3.2 構造物の弾性および塑性挙 動	63	荷重検査	81
3.3 構造物のせい性破壊	64	1.1 緒 論	81
3.4 構造物の疲労破壊	65	1.2 試料表面におけるひずみと 応力	81
3.5 接合部の強度	65	1.2.1 弹性ひずみと応力の関係	82
第4章 欠陥検査	68	a. 主応力方向既知のとき	82
4.1 非破壊検査	68	b. 主応力方向未知のとき	82
4.2 破壊検査	69	1.2.2 応力測定上の注意	83
4.3 問題点	69	1.3 ひずみ計によるひずみ測定	83
4.3.1 き裂の定義	69	1.3.1 金属抵抗ひずみ計	83
4.3.2 不純物, 非金属介在物	70	1.3.2 半導体ひずみ計	84
第5章 金属材料強度試験の		1.3.3 繰返しひずみ測定法	88
意義と分類	71	1.4 その他の応力測定法	89
5.1 材料試験の目的と意義	71	1.4.1 X線による応力測定	90
5.1.1 目的と意義	71	1.4.2 せい性塗膜法	91
5.1.2 材料試験の果す役割	71	1.4.3 光弾性応力測定法	93
a. 学問的立場としての材料試験	72	1.5 残留応力とその測定	95
b. 工業的立場としての材料試験	72	1.5.1 残留応力の成因	95
5.1.3 材料試験結果の取扱いに 対する注意	74	1.5.2 残留応力測定法	96
a. 試験結果の利用について	74	1.6 強度試験時の荷重検定	98
b. 試験結果の解析ならびに実験計画 について	75	1.6.1 荷重指示目盛の検査	99
5.2 材料試験の分類	75	1.6.2 静荷重による応力状態の検 査	100
5.2.1 力学的特性値に関する試験	75	1.6.3 動荷重による応力状態の検 査	101
5.2.2 物理的特性値に関する試験	76	1.7 結 言	101
5.2.3 化学的特性値に関する試験	76		

第2章 静荷重による材料試験	103
2.1 引張試験	103
2.1.1 引張試験の目的	103
2.1.2 応力—ひずみ線図	103
a. 公称応力—ひずみ線図	103
b. 真応力—ひずみ線図	105
2.1.3 降伏条件	108
a. 最大せん断応力説	108
b. 最大せん断ひずみエネルギー説	108
c. 最大せん断応力説と最大せん断ひずみエネルギー説との比較	110
2.1.4 引張試験における破断	111
a. ゼイ性材料の破断	111
b. 延性材料の破断	112
2.1.5 引張試験結果に影響を及ぼす諸因子	112
a. 試験片形状の影響	113
b. 試験温度の影響	116
c. 試験速度の影響	117
2.2 圧縮試験	118
2.2.1 圧縮試験の目的	118
2.2.2 応力—ひずみ線図	118
a. 公称応力—ひずみ線図	118
b. 真応力—対数ひずみ線図	119
c. 圧縮試験による真応力—対数ひずみ線図と引張試験による真応力—対数ひずみ線図との比較	119
2.2.3 圧縮試験における破壊	120
a. ゼイ性材料の破壊	120
b. 延性材料の破壊	120
2.2.4 圧縮試験結果に影響を及ぼす諸因子	121
a. 試験片と押し金具との間の摩擦力の影響	121
b. 試験片形状の影響	122
2.3 曲げ試験	123
2.3.1 曲げ試験の目的	123
2.3.2 応力—ひずみ線図	123
a. 弹性曲げ	123
b. 塑性曲げまたはフックの法則に従わない材料の曲げ	124
c. 大曲げ	126
d. 曲げ応力—曲げひずみ線図	126
e. 曲げモーメント—曲げひずみ線図	127
2.3.3 曲げ試験結果に影響を及ぼす諸因子	128
a. 試験片形状の影響	128
b. 押し治具先端半径の影響	130
c. 中央集中荷重曲げ試験のスパンの影響	131
2.4 ねじり試験	132
2.4.1 ねじり試験の目的	132
2.4.2 応力—ひずみ線図	132
a. 弹性ねじり	132
b. 塑性ねじりまたはフックの法則に従わない材料のねじり	133
c. ねじり試験における応力—ひずみ線図と引張試験における応力—ひずみ線図との比較	134
2.4.3 ねじり試験における破断	135
a. ゼイ性材料の破断	135
b. 延性材料の破断	135
第3章 衝撃試験	137
3.1 衝撃試験の目的	137
3.2 衝撃試験機の種類	137
3.2.1 落锤式	138
3.2.2 振子式	138
3.2.3 回転円板式	140
3.2.4 その他	140
3.3 シャルピーおよびアイソップ衝撃試験	141
3.3.1 試験片	141
3.3.2 試験方法	143
3.3.3 衝撃試験値に及ぼす試験片形状の影響	144
3.3.4 衝撃試験値に及ぼす温度の影響	145
a. 青熱ゼイ性と衝撃値	145

(4) 目次

b. 低温ぜい性と衝撃値	146	a. ピッカース圧子	164
c. 焼もどしづい性と衝撃値	148	b. スープ圧子	164
3.4 回転円板式衝撃試験	148	4.4.3 試験機	164
3.4.1 衝撃引張試験	148	4.4.4 くぼみ測定	165
3.4.2 衝撃ねじり試験	149	4.4.5 試料	165
3.5 ポップキンソンプレッシャー		4.4.6 測定方法	165
バー法	150	4.4.7 微小硬さに及ぼす諸因子	166
3.5.1 測定の原理	150	a. 荷重依存性	166
3.5.2 実験方法	152	b. 試料の準備法によるひずみ	166
第4章 硬さ試験	154	4.5 ロックウェル硬さ試験	166
4.1 硬さ試験法の分類	154	4.5.1 ロックウェル硬さ	166
4.2 ブリネル硬さ試験	154	4.5.2 圧子	169
4.2.1 ブリネル硬さ	154	4.5.3 試験機	169
4.2.2 圧子	155	4.5.4 試料	170
4.2.3 試験機	156	4.5.5 測定方法	171
4.2.4 くぼみ測定	157	4.5.6 ロックウェル硬さに 及ぼす諸因子	172
4.2.5 試料	157	a. 圧子形状誤差	172
4.2.6 測定方法	157	b. 試験面のあらさ	172
4.2.7 ブリネル硬さに及ぼす 諸因子	160	c. 試料面の傾斜	172
a. くぼみの形状	160	d. 荷重負荷速度	172
b. 使用温度	160	e. 荷重保持時間	173
4.3 ピッカース硬さ試験	160	4.6 ロックウェル・スーパーフ イシャル硬さ試験	173
4.3.1 ピッカース硬さ	160	4.6.1 ロックウェル・スパー- フィシャル硬さ	173
4.3.2 圧子	160	4.6.2 圧子	174
4.3.3 試験機	161	4.6.3 試験機と測定法	174
4.3.4 くぼみ測定	162	4.6.4 試料	175
4.3.5 試料	162	4.7 ショア硬さ試験	175
4.3.6 測定方法	162	4.7.1 ショア硬さ	175
4.3.7 ピッカース硬さに及ぼす 諸因子	163	4.7.2 試験機	175
a. くぼみの測定誤差	163	4.7.3 試料	177
b. 加工層の影響	163	4.7.4 測定方法	177
c. 表面状況と傾きの影響	163	4.7.5 硬さに及ぼす諸因子	177
d. 測定温度	163	a. 試料の厚さと重さ	177
4.4 微小硬さ試験	163	b. 表裏面のあらさ	177
4.4.1 微小硬さ	163	c. 試料表面の加工層	177
4.4.2 圧子	164	d. ハンマの先端半径	178

目 次 (5)

e. ハンマの運動	178	5.2.1 試験片の準備	211
f. 操作ハンドルのもどし回転速度	178	a. 材料からの切出し熱処理および加工	211
g. 操作ハンドルの往きの回転速度	178	b. 試験片の形状と寸法	214
h. 試料に対する押付力	178	5.2.2 高サイクル疲労における標準試験法	217
i. 試験機の傾斜	178	a. 両振り応力下の $S-N$ 曲線の求め方	217
j. 試料面の傾斜	178	b. 平均応力を伴う場合の試験法	218
k. 支持台の重量	178	c. 定応力試験と定ひずみ試験	218
4.8 高温硬さ試験	178	d. 試験結果がばらつくときの耐久限度および時間強度の求め方	219
4.8.1 高温硬さ	178	5.2.3 低サイクル疲労試験法	221
4.8.2 圧子	178	5.2.4 疲労強度のばらつきを考慮した試験法と結果の統計的処理	222
4.8.3 測定方法	179	a. $P-S-N$ 線図	222
4.8.4 試験機	180	b. 順序統計量による推定と仮説の検定	226
a. 明石高温ピッカース硬度計	180	c. 母集団が正規分布をなす場合の推定と検定	228
b. 高温微小硬さ試験機	181	d. プロピット法とステアケース法	231
4.9 硬さ試験機の管理	181	5.2.5 迅速試験法と簡易試験法	237
4.9.1 ロックウェル硬さ基準片	181	a. 単一試験片による応力階差試験法	238
4.9.2 ロックウェル・スーパー	182	b. ロカチ法	238
フィシャル硬さ基準片	182	c. プロー法とその関連法	239
4.9.3 ショア硬さ基準片	182	d. 履歴仕事とその関連量の計測による方法	240
4.9.4 ピッカース硬さ基準片	184	5.2.6 実働荷重の解析とシミュレーション試験法	241
4.9.5 ブリネル硬さ基準片	184	a. 実働荷重の解析法	241
4.9.6 硬さ試験機の管理と実態調査	184	b. シミュレーション試験法	246
付 表	186	c. 直線被高則の検討と修正 $S-N$ 曲線の求め方	248
第5章 疲労試験	193	5.3 疲労試験機	251
5.1 基礎事項	193	5.3.1 疲労試験機の種類と性能	251
5.1.1 繰返し応力と繰返しひずみ	193	5.3.2 回転曲げ疲労試験機	254
5.1.2 高サイクル疲労強度	196	5.3.3 曲げ・ねじり疲労試験機	256
a. $S-N$ 線図	196	5.3.4 引張圧縮疲労試験機	259
b. 両振り耐久限度	198	a. 機械振動式疲労試験機	259
c. 耐久限度線図	200	b. 油圧式疲労試験機	265
d. 組合せ応力下の耐久限度	202		
5.1.3 低サイクル疲労強度	204		
5.1.4 実働荷重とシミュレーション荷重	205		
5.1.5 応力拡大係数	209		
5.2 疲労試験方法と試験結果の整理	211		

(6) 目 次

c. 動電式疲労試験機	269	6.3.1 クリープ破断試験方法	330
d. 電気油圧サーボ式疲労試験機	271	a. クリープ破断試験方法の規格	330
5.3.5 高、低温試験装置と内圧試験装置	273	b. クリープ破断試験機	330
a. 高温試験装置	273	c. クリープ破断時間のばらつきと要因	331
b. 低温試験装置	274	6.3.2 クリープ破断データ	332
c. 内圧試験装置	275	a. クリープ破断データの整理	332
5.3.6 衝撃疲労試験機	276	b. クリープ破断データの外挿	332
形状係数の図集(付図)	282	6.3.3 特殊な条件下のクリープ破断試験	337
付 表	297		
第6章 高温強度試験	312	6.4 リラクセーション試験	338
6.1 高温引張試験	312	6.4.1 応力のリラクセーション	338
6.1.1 許容応力と高温引張性質	312	6.4.2 リラクセーション試験方法	339
6.1.2 高温引張試験方法	313	a. リラクセーション試験方法の規格	339
a. 高温引張試験方法の規格	313	b. リラクセーション試験機	341
b. ひずみ速度の影響	314	c. リラクセーション試験機の精度と試験方法	342
c. 試験温度の影響	315	6.4.3 リラクセーション試験結果の整理	344
d. 高温引張試験機	317	a. リラクセーション曲線	344
e. 高温引張試験に際しての注意	318	b. リラクセーション設計線図	345
6.1.3 高温引張試験データの整理	319	c. リラクセーションの塑性ひずみ速度	345
6.2 クリープ試験	320	d. リラクセーションとクリープの関連性	346
6.2.1 クリープとクリープ破断	320	6.5 多軸応力下のクリープ試験	347
a. 許容応力とクリープおよびクリープ破断性質	320	6.5.1 引張一ねじり組合せクリープ試験	348
b. クリープ試験とクリープ破断試験	321	6.5.2 軸荷重一内圧組合せクリープ試験	349
c. クリープ曲線	321	6.5.3 2軸引張クリープ試験	350
6.2.2 定応力クリープ試験	322	6.5.4 内圧厚肉円筒クリープ試験	351
6.2.3 クリープ試験方法	322	6.5.5 回転円板クリープ試験	352
a. クリープ試験方法の規格	322	6.5.6 静水圧クリープ試験	352
b. 応力による誤差	322	6.5.7 切欠きクリープ試験	353
c. 温度による誤差	324	6.6 変動応力・変動温度下のクリープ試験	355
d. クリープ試験機	324		
e. クリープ試験に際しての注意	325		
6.2.4 クリープ試験データの表示	326		
a. クリープ限度とクリープ制限応力	326		
b. クリープデータの数式表示	327		
c. クリープ設計線図	328		
6.3 クリープ破断試験	330		

目 次 (7)

6.6.1 変形強度の推定.....	355	第7章 加工性試験	382
a. 時間硬化説およびひずみ硬化説	356	7.1 溶接性試験	382
b. 時間硬化説とひずみ硬化説の比較	356	7.1.1 溶接割れ試験	383
c. その他の仮説	357	a. 重ね縫手溶接割れ試験	384
d. 組合せ応力下の問題	357	b. スリット形溶接割れ試験と斜めY 形溶接割れ試験	384
6.6.2 破断強度の推定.....	358	c. U形溶接割れ試験	384
6.7 動クリープ試験	359	d. その他	384
6.7.1 動クリープ試験機	359	7.1.2 溶接部の最高硬さ試験	384
6.7.2 動クリープ試験結果の例	360	7.1.3 溶接部の切欠きせい性およ び延性試験	385
a. 動クリープ曲線と時間強度線図	360	7.2 焼入性試験	387
b. 繰返し速度の影響	361	7.2.1 破面検査法	387
c. 切欠きの影響	362	7.2.2 P-F 法	384
6.7.3 動クリープ強度の推定	362	7.2.3 U曲線法	384
a. 動クリープ破断強度	362	7.2.4 ロックウェル－インチ法	388
b. 動クリープ変形強度	364	7.2.5 ジョミニ－法	389
c. その他の結果	365	7.2.6 ジョミニ－式一端焼入法	389
6.8 高温疲労試験	366	7.2.7 変則ジョミニ－法	390
6.8.1 高温疲労試験の必要性とそ の種類	366	7.2.8 D _I 法	390
6.8.2 高温高サイクル疲労試験法	367	7.3 被削性試験	391
6.8.3 高温高サイクル疲労強度に ついて	368	7.3.1 切削抵抗に関する試験法	392
6.8.4 高温低サイクル疲労試験 法	369	7.3.2 工具寿命に関する試験法	392
6.8.5 高温低サイクル疲労強度に ついて	372	7.3.3 仕上面品質に関する試験 法	394
6.9 热疲労試験	374	7.3.4 切くず処理に関する試験 法	394
6.9.1 热疲労試験の必要性	374	7.4 塑性加工性試験	395
6.9.2 热ひずみ自己拘束型の試 験	374	7.4.1 プレス成形性	395
6.9.3 热ひずみ外部拘束型	375	a. 深絞り性	395
6.9.4 機械的ひずみ重畳型	376	b. 張出し性	395
6.9.5 モデルまたは実物による热 疲労試験	378	c. 伸びフランジ性	396
6.9.6 热疲労強度について	379	d. 曲げ加工性	397
6.10 热衝撃試験	379	7.4.2 プレス成形性試験	397
6.10.1 热衝撃破壊とは	379	a. 深絞り性試験	397
6.10.2 热衝撃試験法	380	b. 張出し性試験	400
6.10.3 热衝撃強度について	381	c. 伸びフランジ性試験	401
		d. 曲げ加工性試験	401
		7.4.3 予変形材のプレス成形性	402

(8) 目次

a. 単純変形経路と複合変形経路	403
b. 複合変形経路をとる場合の変形限界線図	403
c. 成形高さで比較した場合の変形経路の効果	404
d. 成形限界線図	405
7.4.4 基礎的材料特性による成形性の評価	406
第8章 要素試験	408
8.1 ワイヤロープの強度試験	408
8.1.1 JIS に規定する強度試験	408
a. 素線の強度試験	408
b. ワイヤロープの(引張)切断試験	408
8.1.2 ワイヤロープの引張試験	409
8.1.3 ワイヤロープの衝撃引張試験	410
8.1.4 ワイヤロープの疲労試験	410
8.2 ばねの強度試験	414
8.2.1 ばねの強度試験	414
8.2.2 ばねの疲労試験	415
8.3 ねじの強度試験	416
8.3.1 ねじ部品の強度試験	416
8.3.2 ねじ部品の疲労試験	418
8.3.3 ねじ結合体の強度試験	419
8.4 齒車の強度試験	420
8.4.1 齒車の曲げ強度試験方法	421
a. 静的曲げ強度試験方法	422
b. 曲げ疲労強度試験法	422
8.4.2 齒車の歯面強度試験方法	425
a. ローラ試験片によるピッキング試験	425
b. 齒車の運転試験によるピッキング試験	426
8.4.3 齒車のスコーリング強度試験方法	428
第9章 表面損傷試験	430
9.1 摩耗試験	430
9.1.1 摩耗試験概説	430
9.1.2 摩耗の測定と表示	430
a. 重量測定	431
b. 体積測定	431
c. ラジオアイソトープ法	431
d. 摩耗量の表示	431
e. 摩耗試験の同時測定項目	432
9.1.3 摩耗試験形式	433
a. 筒形	433
b. ピン／回転円板形	433
c. ピン／回転円筒形	433
d. 平板／回転円筒形	434
e. 四球式	434
f. ころがりを伴う試験形式	435
g. 実機試験	435
9.1.4 試験条件による摩耗率の相違	435
9.2 転動疲労	437
9.2.1 転動疲労の特徴と影響因子	437
9.2.2 接触応力	440
9.2.3 EHL	440
9.2.4 転動疲労試験機の方式	441
9.2.5 モデル試験機および実物試験機の例	443
9.3 腐食試験	447
9.3.1 腐食試験の問題点	447
9.3.2 腐食試験のプログラム例	449
9.3.3 現用の腐食試験の標準方法と推奨手段	452
9.3.4 標準化されていない現用の腐食試験法	452
第10章 強度に及ぼす環境効果	457
10.1 応力腐食割れ・水素せい性	457
10.1.1 応力付加方法	457
a. 定荷重式	457
b. 定ひずみ式	457
c. K _{ISCC} による割れ感受性の評価	459

目 次 (9)

d. 定ひずみ速度試験	459	11.5 電子顕微鏡による金属組織 観察法	484
10.1.2 試験環境	460	11.5.1 試料の調整	484
a. オーステナイト系ステンレス鋼の 塩化物による応力腐食割れ	460	a. レプリカ法	484
b. 炭素鋼の応力腐食割れ	461	b. 抽出レプリカ法	486
c. 高張力鋼の硫化物腐食割れ	461	c. 透過電顕薄膜作成法	486
d. 黄銅のアンモニアによる応力 腐食割れ	462	11.5.2 電子顕微鏡	487
10.2 環境疲労	464	11.5.3 電顕像の解釈	489
10.2.1 腐食疲労	464	11.6 走査電子顕微鏡	492
a. 速度ならびに波形効果	464	11.7 その他の電子顕微鏡	493
b. 応力種類の影響	467	第 12 章 構造物試験	496
c. 腐食液	467	12.1 構造物の屋内試験	496
10.2.2 吸着疲労	469	12.1.1 試験の目的と計画	496
a. 大気環境	469	12.1.2 試験体の製作	496
b. 油中疲労	469	12.1.3 試験装置	497
第 11 章 金属組織試験	471	a. 構造物試験機	497
11.1 肉眼組織観察	471	b. 耐力床と反力壁	497
11.1.1 破面観察	471	c. 載荷用ジャッキ	497
11.1.2 肉眼腐食組織	472	d. 振動台	498
11.1.3 サルファープリントおよび フォスフォラス(リン)プリ ント	473	e. 起振機	498
11.2 光学顕微鏡組織観察	473	f. 風洞	498
11.2.1 試片の調整	474	12.1.4 試験方法	498
a. 試片の採取	474	a. 境界条件	498
b. 研磨	474	b. 載荷条件	500
c. 腐食	476	c. 計測	502
11.2.2 顕微鏡	476	12.2 構造物の屋外試験	504
11.2.3 光学顕微鏡観察法	477	12.2.1 試験の目的と計画	504
11.3 結晶粒度測定	480	12.2.2 野外における構造物の特 性	504
11.3.1 結晶粒現出法	480	a. 単純な応用力学理論の限界	504
11.3.2 結晶粒度算出法	481	b. 支持条件のあいまいさ	505
11.4 鋼中非金属介在物の顕微鏡 的試験法	483	c. 温度の影響	505
11.4.1 非金属介在物の種類	483	d. 測定に影響するその他の要素	505
11.4.2 試験片の採取および検鏡	483	12.2.3 静的荷重による試験	505
11.4.3 清浄度の判定	484	a. 荷重	505
		b. 応力とひずみの測定	506
		c. たわみと変形の測定	507
		d. 支点反力の測定	510
		12.2.4 動的荷重による試験	511

(10) 目 次

a. 荷重	511	14.3 巨視的破面の特徴	537
b. 応力とひずみの測定	512	14.4 微視的破面における特徴的 模様	538
c. たわみと振動変位の測定	513	14.4.1 粒内破壊	539
d. 荷重と反力の測定	515	a. 延性破壊	539
第13章 ゼイ性破壊試験	517	b. ゼイ性破壊	539
13.1 緒言	517	c. 疲労破壊	540
13.1.1 ゼイ性破壊の一般的特徴	517	14.4.2 粒界破壊	541
13.1.2 ゼイ性破壊強度設計	518	14.5 破面の定量解析	542
13.2 ゼイ性破壊の力学的基礎	518	14.5.1 ストライエーション解析	542
13.2.1 破壊力学の基礎	518	14.5.2 ストレッチゾーン解析	543
a. 線型破壊力学	518	14.5.3 その他	543
b. 弹塑性き裂	519	第15章 非破壊試験	545
c. K, ϕ, ρ の関係	520	15.1 非破壊試験の目的	545
13.2.2 ゼイ性破壊の条件	520	15.2 放射線透過試験	546
13.3 ゼイ性破壊試験	521	15.2.1 放射線源	546
13.3.1 ゼイ性破壊発生試験	522	a. X線と低エネルギーX線装置	546
a. ディープ・ノッチ試験	522	b. 高エネルギーX線装置	547
b. 熔接ビート付広幅引張試験	524	c. γ 線と γ 線装置	547
c. 表面切欠き角変形付広幅試験	525	d. 放射線源の選択	549
d. COD曲げ試験	526	15.2.2 物質による放射線の吸収	549
13.3.2 伝ば停止特性試験	528	15.2.3 X線フィルムと写真法	550
a. Robertson試験	528	15.2.4 X線透視試験と螢光増倍 管	552
b. 二重引張試験	529	15.2.5 透過写真的観察方法	552
c. DCB試験	530	15.3 超音波探傷試験	553
13.3.3 遷移温度試験	530	15.3.1 超音波探傷試験法の原理と パルス反射式超音波探傷	553
a. シャルピー衝撃試験	530	15.3.2 音波の性質	554
b. NRL落重試験	531	a. 音波の速度、周波数、波長	554
第14章 破面解析	533	b. 音波の反射と透過	554
14.1 概説	533	c. 斜入射の場合の反射、透過、屈折	555
14.2 破面解析技術	534	d. 超音波の指向性	556
14.2.1 肉眼、ルーペ、実体顕微鏡 による巨視的解析	534	e. 超音波の減衰	556
14.2.2 金属顕微鏡	534	15.3.3 探触子	557
14.2.3 透過電子顕微鏡	534	15.3.4 欠陥の大きさの測定	558
14.2.4 走査電子顕微鏡	535	15.4 磁粉探傷試験	558
14.2.5 破面の保存および処理	536	15.4.1 磁粉探傷試験の原理	558
14.2.6 立体解析およびマッピング 解析	536		
14.2.7 その他	536		

目 次 (11)

a. 原理	558	a. 相関係数の求め方	575
b. 電流による磁場	559	b. 母相関係数の推定	575
c. 磁束密度	560	16.3.3 回帰分析および推定	576
15.4.2 磁粉探傷試験の実施	560	a. 直線回帰	576
a. 前処理	560	b. 直線回帰の応用	576
b. 磁化	560	16.4 要因の配置および分散分析	579
c. 磁粉の適用	561	16.4.1 確率化計画	579
d. 磁粉模様の観察	561	16.4.2 実験データの解析、分散分析	580
e. 脱磁	561	16.5 1元配置法(1因子実験)	581
15.5 電気的試験	561	16.5.1 繰返し数が一定の場合	581
15.5.1 電磁誘導試験	561	a. 実験方法	581
15.5.2 電気抵抗法	562	b. データの構造模型	582
15.6 浸透探傷試験	563	c. 分散分析	583
第16章 実験計画法	565	d. 最適水準の決定	587
16.1 実験計画法の目的および その概要	565	16.5.2 繰返し数が各水準で一定で ない場合	589
16.1.1 実験計画の目的	565	16.6 乱塊法	591
16.1.2 実験計画の実施要領	566	16.6.1 実験方法	591
a. 実験目的の明確化	566	16.6.2 データの構造模型	592
b. 情報の整理	566	16.6.3 分散分析	593
c. 因子の選定	566	16.6.4 最適水準の決定	594
d. 交互作用	567	16.7 ラテン方格法	594
e. 文絡	567	16.7.1 実験方法	595
f. 水準の選定	567	16.7.2 分散分析	597
g. 誤差項	568	16.7.3 仮説の検定	597
h. 実験順序の確率化	568	16.7.4 最適水準の決定	598
i. 実験計画の方式	569	16.8 2元配置法(2因子実験)	598
16.1.3 実験計画の実際	570	16.8.1 2元配置法(繰返しのない 場合)	599
16.2 推定と検定	570	16.8.2 2元配置法(繰返しをラン ダムに入れた場合)	600
16.2.1 母数の推定	570	a. 実験方法	601
a. 母平均の推定	570	b. データの構造模型	601
b. 母分散の推定	572	c. 分散分析	601
16.2.2 仮説検定	572	d. 仮説の検定	602
16.2.3 検定の方法	573	e. 最適水準の決定	603
a. 分散に関する検定	573	16.8.3 2元配置法(繰返しを乱塊 法で入れた場合)	604
b. 平均値に関する検定	573		
16.3 相関および相関係数	574		
16.3.1 散布図	574		
16.3.2 相関分析	575		

(12) 目 次

a. 実験方法.....	604	16.10.5 線点図による割り付け方.....	619
b. データの構造模型.....	605	16.11 直交配列表による実験計画	
c. 分散分析.....	605	(3水準の場合の実験).....	620
d. 仮説の検定.....	605	16.11.1 交互作用がない場合.....	620
e. 最適水準の決定.....	606	16.11.2 交互作用がある場合.....	622
16.9 分割法	606	16.12 直交配列表によるその他の	
16.9.1 1段分割法.....	607	実験の割り付け	623
a. 1次因子をA, 2次因子をBとし, Aの繰返しを乱塊法で入れた場合	607	16.12.1 分割法.....	625
b. 1次因子をA, 2次因子をBとし, Aの繰返しをランダムに入れた		16.12.2 交絡法.....	626
場合	609	16.13 各種の実験計画法の比較お	
16.9.2 2方分割法.....	610	よびその選定	627
16.9.3 多方分割法.....	611	16.13.1 1因子実験の場合.....	627
16.9.4 測定だけをm回する分割 実験.....	611	16.13.2 多因子実験の場合.....	628
16.10 直交配列表による実験計画 (2水準の場合の実験)	612	a. 2元配置法	628
16.10.1 直交配列表.....	613	b. 分割法	628
16.10.2 2水準の場合の実験.....	614	c. 直交配列表による実験計画法	628
16.10.3 交互作用がない場合の2水 準の実験.....	615	付 表	630
16.10.4 交互作用がある場合の2水 準の実験.....	618	付 錄 1. 金属材料強度試験方法 各国規格一覧表	641
		2. 単位の換算率表	645
		案 引	649

I 総論

第1章 金属材料の性質と強度

1.1 弹性的性質

応力とひずみが比例関係にあり、応力とひずみが1対1に対応し、時間おくれをともなわないときには、その物体は Hooke の法則に従うことになり、その物体は弾性体である。実用材料においては、ある応力に達するまでは弾性が保たれる。この上限の応力を弹性限と呼ぶ。しかし、弹性限以下の応力においても、厳密にみれば、応力に対してひずみが時間おくれをもつことがあり、この性質を擬弾性 (anelasticity) と呼び、ひずみが平衡値に漸近する現象を弹性余効と呼ぶ。

弾性体においては、垂直応力 σ がかかったとき、 σ とその方向の縦ひずみ ϵ とは比例し、また、せん断応力 τ がかかったとき、 τ とそれによるせん断ひずみ γ ともまた比例する。この比例定数をそれぞれ、縦弾性係数またはヤング率 E 、および横弾性係数またはせん断弾性係数 G という。すなわち

$$E = \sigma/\epsilon, \quad G = \tau/\gamma$$

である。垂直応力がかかったときに、その応力に垂直方向のひずみと、応力の方向のひずみとの比は一定であって、この比をポアソン比 ν または $1/m$ であらわす。 m はポアソン数という。また、弾性体の全表面に一様な応力（圧力）がかかったときに、その応力と体積ひずみとは比例し、その比例定数を体積弾性係数 K という。

これらの比例定数は、弹性範囲内において一定であって、これらを弹性定数といいう。弹性定数としては、上に記載したものに他に各種の定義によるものがあるが*、等方性体においては、弹性定数のうち独立なものは2個である**。

一般に、垂直応力 σ_x, σ_y および σ_z 、せん断応力 τ_{xy}, τ_{yz} および τ_{zx} が働くとき、垂直ひずみ ϵ_x, ϵ_y および ϵ_z 、せん断ひずみ γ_{xy}, γ_{yz} および γ_{zx} は弹性定数を用いて次のように書くことができる。

$$E\epsilon_x = \sigma_x - \nu(\sigma_y + \sigma_z)$$

* 応力とひずみの関係を一般的に示すには、弹性スティフネスまたは弹性コンプライアンスを用いることが多いが、等方性体の場合には、弹性スティフネスは Lamé の定数 λ, μ に帰着される。

** 弹性定数 $E, G, \nu, K, \lambda, \mu$ の間には次の関係がある。

$$\begin{aligned} E &= (3\lambda + 2\mu)\mu/(\lambda + \mu), \quad G = E/2(1+\nu) = \mu, \quad 3K = E/(1-2\nu) = 3\lambda + 2\mu, \\ \lambda &= \nu E/(1+\nu)(1-2\nu), \quad \nu = \lambda/2(\lambda + \mu) \end{aligned}$$

(2) I 総論 第1章 金属材料の性質と強度

表 1.1 弾性定数 E, G, ν ($E, G : 10^4 \text{ kg/mm}^2$)

材 料	縦弾性係数 (E)	横弾性係数 (G)	ボアソン比 (ν)
マグネシウム	0.40~0.45	0.15~0.17	0.33
アルミニウム	0.72	0.27	0.34
ジュラルミン	0.70~0.72	0.27	0.34
超ジュラルミン	0.75		
チタン	1.05		
軟 鋼	2.07~2.15	0.83~0.85	0.28~0.30
硬 鋼	2.0~2.2	0.81~0.84	0.28~0.30
鋳 鋼	2.15	0.83	0.27
鋳 鉄	0.75~1.40	0.29~0.44	0.20~0.29
クロム 鋼	2.05~2.15		
ニッケル 鋼	2.08~2.09	0.84	
ニッケルクロム鋼	2.08		
タングステン鋼	2.16~2.23	0.84~0.87	
コバルト	1.85~2.13	0.77~0.78	
ニッケル	1.97~2.05	0.73~0.76	0.31
モネルメタル	1.75~1.80	0.63~0.66	0.32
銅	1.05~1.30	0.39~0.47	0.33~0.35
りん青銅	0.98~1.35		0.35
黄銅	0.63~0.98	0.24~0.42	0.33
亜鉛	0.8~1.3	0.32~0.40	0.33
モリブデン	3.38~3.50	1.70~1.40	
ロジウム	3.00		0.47
銀	0.81~0.82	0.29	0.38
カドミウム	0.50~0.70	0.23	0.30~0.33
ナatrium	0.40~0.55	0.17~0.28	0.33
タングステン	3.70	1.60	0.17
白金	1.70	0.62	0.39
金	0.81	0.28	0.42
ニッケル鉛	0.15~0.17	0.08	0.40~0.45

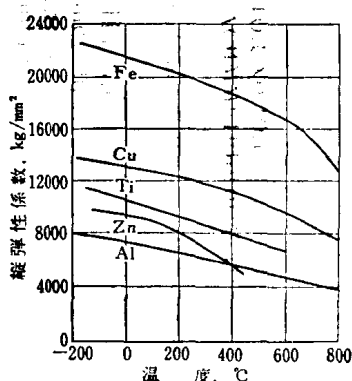


図 1.1 縦弾性係数の温度による変化

$$E\varepsilon_y = \sigma_y - \nu(\sigma_x + \sigma_y)$$

$$E\varepsilon_z = \sigma_z - \nu(\sigma_x + \sigma_y)$$

$$G\gamma_{xy} = \tau_{xy}, \quad G\gamma_{yz} = \tau_{yz}, \quad G\gamma_{zx} = \tau_{zx}$$

弹性定数は、結晶体においては、一定の原子配列のもとにおける結合力に関係するものであるから、単結晶においてはその方向によって弹性定数が異なることは当然である。しかし実用材料は多結晶であり、等方等質であると考えられる場合が多いから、特に非等方的な場合を除いて、方向に無関係な値と考えてよい。実用の材料についての、縦弾性係数、横弾性係数、ボアソン比の数値表を表 1.1 に示す。弹性定数は構造純度であるが、温度によって変化する。縦弾性係数の温度による変化を図 1.1 に示す。温度が高い範囲においては、静的あるいは動的の測定方法の相違によって得られる値が異なるおそれがある。

最初に述べたように、巨視的には、材料は応力が弹性限に達すると弹性関係を失い、つづいて塑性変形を生じる。これらの状態にいたることをそれぞれ弹性破損および降伏という。